

京都大学 工学部 王員 中川 博次  
 京都大学 工学部 王員 鈴木 章一  
 広島県 ○河村 康

## 1. まえがき

開水路せん断流中における円柱周辺部での流れは、円柱底部近くの渦渦渦流および円柱からやや離れたところのゆるやかに曲る流れと異なる特性をもつたため別々に考へられてきた。先の報告<sup>1)</sup>では円柱よどみ面内の渦渦渦流の特性について述べたが、本報告では流れがゆるやかに曲る場所での二次流について、Hawthorne の考え方に基づく鉛直方向流速成分  $U_z$  を無視した場合の解析<sup>2)</sup>結果を補うために、 $U_z$  の近似計算について考察し、5孔球形ピト管によって三次元的に流速を測定した結果を説明しようとしたものである。

## 2. 理論的考察

Hawthorne のように、せん断流がゆるやかに曲る場合には、主流をポテンシャル流としそれからの接觸流を考へて、渦度保存則を用いると、ポテンシャル流向外、すなわち垂直方向および鉛直上向き方向との渦度成分、 $\gamma_1, \gamma_2, \gamma_3$  は求められ、

$$\gamma_1 = z \cdot f \cdot \int_{\infty}^z \frac{d\theta}{f^2}, \quad \gamma_1 = \frac{1}{f}, \quad \gamma_1 = 0 \quad (1)$$

となる<sup>3)</sup>。ここで、 $\theta$  は水路方向とポテンシャル流向外とのなす角で、 $f$  はポテンシャル流の合速度である。 $\gamma_2, \gamma_3$  は円柱の影響のない位置での量は 0、水面における値は 1 を付けると、上流側基準断面での流速  $U$  の対数分布

$$\frac{\partial U_0}{\partial Z} = \frac{U_{00}}{K} \cdot \frac{1}{Z} \quad (2)$$

を示すとすれば、適当な境界条件を用いることによつて (1), (2) 式から二次流成分  $U_z, U_r$  を求めることが可能である。ただし、直接解が求まるばかりでなく、直ちに計算をすることほどではない。 $Z=0$  で、まず境界条件として水面では、 $(\gamma_1, \gamma_2)$  面におけるポテンシャル流を仮定し、これと Bernoulli 式を用いると、

$$U_{z1} = U_{01} \cdot f \cdot \cos \theta, \quad U_{r1} = 0, \quad U_{s1} = U_{01} \cdot f \cdot \sin \theta \quad (3)$$

を得る。ここで、 $\theta$  は

$$\tan \theta = \frac{U_{z1}}{U_{s1}} = \frac{d\theta}{ds} = - \frac{f \cdot U_{01}^2}{g} \cdot \frac{df}{ds} \quad (4)$$

で与えられる。第一次近似として、 $U_z = 0$  を用いると、 $U_s$  および  $U_r$  が計算でき、この  $U_s$  および  $U_r$  を用いて  $U_z$  を計算する。いま、直交曲線座標系の連続式を各流線に沿う微小区間ごとの円筒座標系の連続式、

$$\frac{\partial U_r}{\partial r} + \frac{U_r}{r} + \frac{\partial U_\theta}{\partial \theta} + \frac{\partial U_z}{\partial Z} = 0 \quad \text{近似させ、} Z \text{ 方向に} Z \text{ で積分すると、}$$

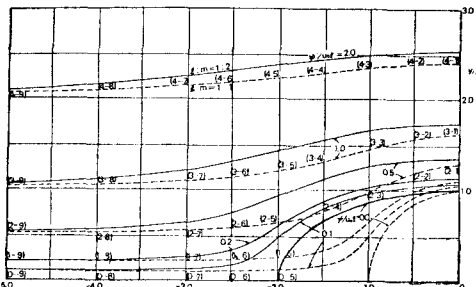
$$[U_z(Z)]_0^Z = - \int_0^Z \left( \frac{\partial U_r}{\partial r} + \frac{U_r}{r} + \frac{\partial U_\theta}{\partial \theta} \right) dZ \quad (5)$$

とするが、 $Z=Z'$  で  $\frac{\partial U_r}{\partial r} \approx \frac{\partial U_r}{\partial n}$ ,  $\frac{U_r}{r} \approx U_{n1}$ ,  $\frac{\partial U_\theta}{\partial \theta} \approx \frac{\partial U_\theta}{\partial s}$  と近似すると、上で求めた  $U_s$  および  $U_r$  を用い、 $U_z(0) = 0$ ,  $U_z(Z') = U_{01} \cdot f \cdot \sin \theta$  という境界条件で  $Z'$  の独立な  $\frac{\partial U_\theta}{\partial s} + k_1 U_{n1}$  を計算し、(5) 式を数值計算して  $U_z$  を求めた。

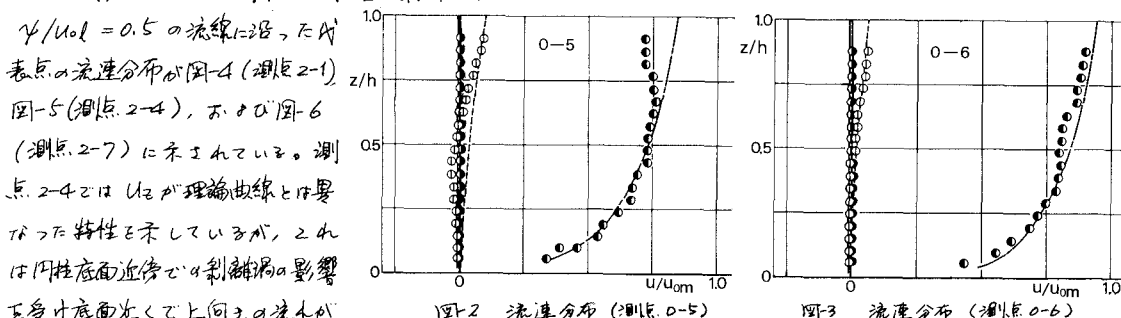
## 3. 実験的考察

三次元的流速は、直径 8mm の 5 孔球形ピト管による計測を採用し、動量計を用いて図-1 に示す測点に

て測定されたが、その一部が図-2～図-6に示されている。実験条件は、円柱径Dが10cm、水深h<sub>0</sub>が9.84cm、平均流速U<sub>0</sub>が47.6 cm/secである。図中、破線、実線および卓線はそれそれ、U<sub>s</sub>、U<sub>n</sub>およびU<sub>z</sub>に関する計算曲線である。 $\eta/U_0 = 0.2$  すなわちよどみ面内では、図-2(測点0-5)および図-3(測点0-6)に示されるように、実測値と計算値とよく一致しているが、測点(0-5)で水深中央附近で下向きの流速成分が顯著なるのは円柱前面底部への渦の集中の影響を示しており、ここで取り扱つた二次元渦度保存則の適用限界を示している。



### 圖-1 測定點



## 圖2 流速分布 (測點D-5)

圖-3 流速分布 (測點 0-6)

生じていていることを示しており、また調点2-1では明らかに円柱側面での流れの剥離が $U_{n1}$ が水面で非常に大きくなつており、もはや、 $U_{n1} \div 0$  の仮定が成り立たないため理論式は実測値と十分説明し得ない。剥離渦の影響をあまり受けない領域 ( $y/U_{n1} > 1.0$ ) におけるは、計算式を導びく際の仮定が十分妥当性があり、計算式と実測値とはより一致を示してゐる。ここに挙げたように、円柱の近く近傍では円柱底面近傍での三次元的剥離渦の発生など、流れが本質的に異なって

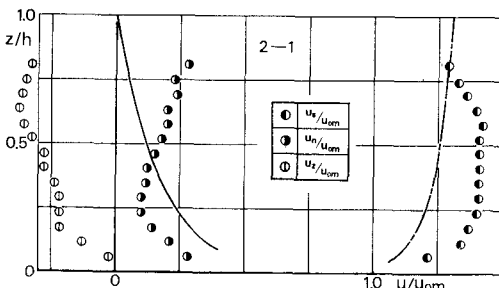


图-4 流速分布 (测点 Z-1)

くまで、Hawthorne の考え方を抜張していっても限界があること考えられる。

#### 4. オとづべき

利潤渦領域と利潤非渦領域とは  
連続しているにもかかわらず、  
別々に流水の条件を仮定して解  
析していくが、利潤渦の影響と

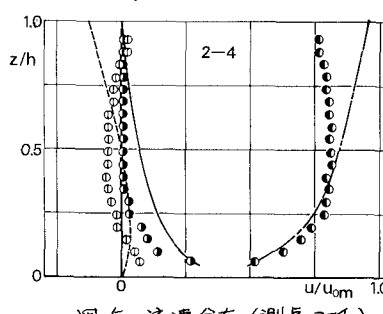


圖-5 流速分布 (測點 2-4)

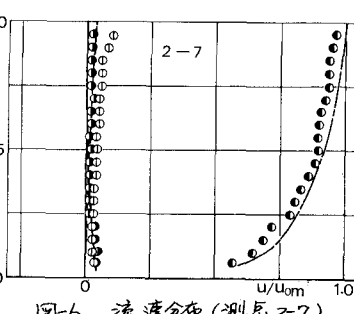


圖-6 流速分布(測點 2-7)

強く食うた場合には擾動流の位置は誤められなくなり、他の成分も考慮してその解析方法には限界があり、剥離渦の影響を重ね合わせて考慮が今後必要であろう。

### 〈参考文献〉

- 1) 鈴木・河村：橋脚底部の発生寸法と馬蹄形渦(=～n=) 第27回年講 1972.10  
 2) 中川・鈴木：円柱周辺の渦本と局所流速(=～n=) 第16回水理講演会, 1972. 2  
 3) Hawthorne, W.R.: The Secondary Flow About Struts and Airfoils, Jour. of Aeronautical Sciences 1954. 9